

Demonstrações no Mathematica em uma Introdução à Teoria Quântica de Campos e Física de Partículas

Um notebook dinâmico e educacional para TQC

Por Bruno Gehlen F. da Silva

Capítulo #1: Introdução e Teoria

Contexto Histórico

O século XX iniciou com a grande descoberta da física quântica por Max Planck e seus estudos sobre a quantização da matéria e o Corpo Negro, permitindo descrever várias oscilações de diferentes modos confinados em uma cavidade (explicando a Catástrofe do Ultravioleta). Albert Einstein interpretou essa quantização como partículas sem massa chamadas fótons e utilizou essas novas descobertas para determinar seus Coeficientes, além do famoso Efeito Fotoelétrico. Com este novo formalismo, é possível utilizar os operadores de Aniquilação e Criação em modos de energia (ou momento) e até mesmo encontrar a Taxa de Transição entre diferentes estados quânticos.

No mesmo século, também houve enormes avanços na área da relatividade: não há um referencial absoluto, a luz viaja a uma velocidade constante e, dependendo da velocidade do observador, diferentes grandezas físicas podem ser medidas. Descobriram-se observáveis invariantes de Lorentz (simétricos por todo o Grupo de Poincaré), pois já se sabia que rotações mantinham normas inalteradas, e agora haviam os Boosts de Lorentz. Também foi descoberto que esses boosts se reduzem às transformações de referencial de Galileu no regime das baixas energias (validando ainda a física clássica tradicional), e então passou-se a lidar com objetos traduzidos como campos e operadores invariantes sob todas essas transformações, sejam elas contínuas ou discretas no universo.

Hoje em dia, a humanidade já foi capaz de conciliar ambas as teorias na então chamada de Teoria Quântica de Campos (TQC), onde, diferente da mecânica quântica usual, a quantidade de

partículas do sistema pode ser modificada ao longo dos processos, sendo assim a base para diversos sistemas de diferentes áreas da física moderna, como o estudo da Matéria Condensada e a Física de Partículas em si. A maneira como a TQC é construída permite que a matriz S (de espalhamento, “scattering”) seja utilizada de forma que, tomando que as interações ocorram em um tempo muito curto comparado o resto do espalhamento e tratando os campos como operadores que criam e/ou aniquilam partículas de certos estados, é possível descrever qualquer processo onde entrem n partículas e saiam m outras.

Formalismo Rápido

Falando propriamente sobre nossa teoria, é necessário lembrar alguns aspectos básicos da Teoria Quântica de Campos. Após a chamada “segunda quantização”, onde são estabelecidas as relações de comutação locais (em tempos iguais) entre os operadores de criação/aniquilação e a normalização dos estados, além de também definir a ação desses operadores em um estado de uma partícula:

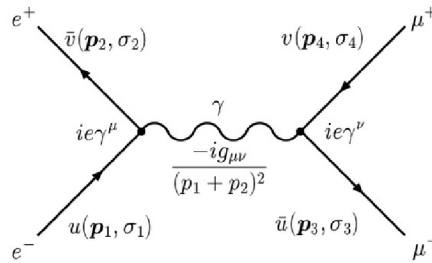
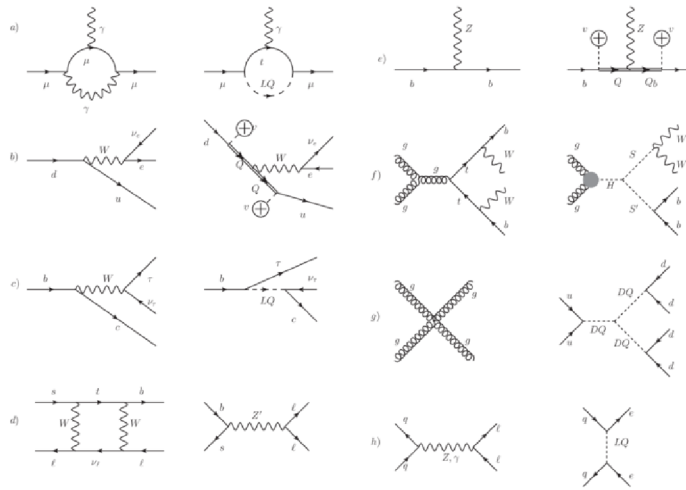
$$[a_k, a_p^\dagger] = (2\pi)^3 \delta^3(\vec{p} - \vec{k}) \quad \langle 0|0 \rangle = 1 \quad a_p^\dagger |0\rangle = \frac{1}{\sqrt{2\omega_p}} |\vec{p}\rangle$$

define-se que n partículas podem simultaneamente ocupar um estado de momento \mathbf{p} , resultando na soma direta dos espaços de Hilbert das i partículas, também chamado de espaço de Fock, permitindo agora a introdução de *Campos Escalares Quânticos*:

$$F_\nu(H) = \bigoplus_{n=0}^{\infty} S_\nu H^{\otimes n} \quad \phi_0(\vec{x}, t) = \int \frac{d^3p}{(2\pi)^3} \frac{1}{\sqrt{2\omega_p}} (a_p e^{-ipx} + a_p^\dagger e^{ipx}),$$

que são soluções da equação de Klein-Gordon e portanto podem ser decompostos em ondas planas. Processos semelhantes se aplicam em *Campos Spinoriais* (que descrevem férmions), o que demanda um aprofundamento no estudo das representações do Grupo de Poincaré **ISO(1,3)** (possui rotações, boosts de Lorentz, inversão temporal e por paridade) e sobre o que são spinores em si, e *Campos Tensoriais*, como do fóton e do hipotético gráviton, que exigem bases com *polarizações* para cada um dos índices do objeto, relacionados com spin inteiro (bósons).

É possível então deduzir as Regras de Feynman, tanto no *espaço de posição* quanto de *momento*, que ajudam durante o já bem estabelecido formalismo de Diagramas de Feynman, estes sendo representações das séries perturbativas que surgem ao calcular as funções entre n -pontos de teorias interagentes:



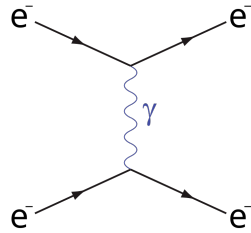
Toda a ideia de diagramas e funções de muitos pontos facilita os cálculos pois basta que todas as amplitudes (chance de um estado inicial chegar em um estado final) que podem fisicamente contribuir para o processo sejam somadas, além de sutilidades como soma sobre spins e polarizações. Além disso, é chegado um momento em que é necessário estudar o processo de *Renormalização* de teorias já que a inserção de loops nos diagramas, apesar de incrementar a precisão, acaba criando divergências nos observáveis, o que certamente não é compatível com quase tudo observado no universo atual, e portanto é necessário deformar a teoria em uma certa escala e fazer modificações em passos intermediários dos cálculos de forma que os observáveis extraídos agora sejam finitos.

Capítulo #2: Cálculos

Primeiros Cálculos

Agora, iniciam-se os cálculos de alguns espalhamentos já conhecidos para avaliar a autenticidade da teoria descrita até aqui. Tomando o famoso *Espalhamento de Møller*, algo extremamente natural na eletrodinâmica quântica escalar, onde dois elétrons se aproximam e se repelem ao trocar

um fóton:



$$e^- e^- \longrightarrow e^- e^-,$$

Pela Lagrangiana, nota-se que os diagramas possíveis são o canal-t e canal-u (e isso pode ser visto com o auxílio do pacote *FeynArts*), e então, definindo a contração de índices e grandezas necessárias (variáveis de Mandelstam) :

```
In[]:= normLortz[x_, y_] := (x[1]·y[1]) - (x[2]·y[2]) - (x[3]·y[3]) - (x[4]·y[4]);
      «com a assinatura da métrica Lorentziana dada por (·,·,·,·)»

p1 = {p10, p11, p12, p13};
p2 = {p20, p21, p22, p23};
p3 = {p30, p31, p32, p33};
p4 = {p40, p41, p42, p43};
      «definição dos 4 momentos inicialmente genéricos.»

In[]:= sups1 = {e > 0, g > 0, s > 0, s == e^2/(4 π),
      normLortz[p1.p2, p1.p2] == s,
      «normLortz[p3.p4, p3.p4] == s,»
      normLortz[p1.p3, p1.p3] == t,
      «normLortz[p2.p4, p2.p4] == t,»
      normLortz[p1.p4, p1.p4] == u
      «normLortz[p2.p3, p2.p3] == u.»
};
      «constante de acomplamento e variáveis de mandelstam;
são as suposições que vão ser usadas nos cálculos.»
sups2 = {
      normLortz[p1.p3, p2.p4] == s.u,
      (p12 p22 . p13 p23 . p10 (p20 . p30) . p11 (p21 . p31) . p12 p32 . p13 p33 .
      p20 p40 . p30 p40 . p21 p41 . p31 p41 . p22 p42 . p32 p42 . p23 p43 . p33 p43) == s . t
};

In[]:= « « FeynArts`; «Carregamento do pacote FeynArts caso queira visualizar os diagramas.»
Paint[InsertFields[CreateTopologies[0, 2 - 2], {F[1, {1}], F[1, {1}]}, {F[1, {1}], F[1, {1}]}],
      Model - "QED", GenericModel - "QED", ColumnsXRows - 2, PaintLevel - {Classes}]
      «Utilizando o pacote FeynArts para ver os possíveis
      diagramas para um espalhamento férmions 2.2.»
```

by Hagen Eck, Sepp Kueblbeck, and Thomas Hahn

loading generic model file

```
homebrunogehlenDocumentos.wolfram.qft.FeynArts.3.11.Models.QED.gen
```

```
. $GenericMixing is OFF
```

```
generic model {QED} initialized
```

loading classes model file

```
homebrunogehlenDocumentos.wolfram.qft.FeynArts.3.11.Models.QED.mod
```

```
. 7 particles (incl. antiparticles) in 2 classes
```

```
. $CounterTerms are ON
```

```
. 1 vertices
```

```
. 3 counterterms of order 1
```

```
classes model {QED} initialized
```

inserting at levels {Generic, Classes}

```
. Top. 1: 0 Generic, 0 Classes insertions
```

```
. Top. 2: 0 Generic, 0 Classes insertions
```

```
. Top. 3: 1 Generic, 1 Classes insertions
```

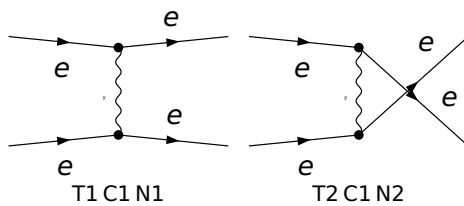
```
. Top. 4: 1 Generic, 1 Classes insertions
```

```
in total: 2 Generic, 2 Classes insertions
```

```
. Top. 1 aebfcedfef.m, 0 diagrams
```

```
. Top. 2 aebf.cfddeef.m, 0 diagrams
```

e e . e e



```
Out[] = FeynArtsGraphics[{e, e} -> {e, e}] {
  {T1 C1 N1, T2 C1 N2},
  {Null, Null}
}
```

além dos componentes da seção de choque:

```
In[]:= vert[g_] := ./. g;
```

«Cada vértice dá um fator $(-ig)$ »

```
propEsc[p_, m_] := ./. (normLortz[p, p] - m^2);
```

propFot[p_] := ./. normLortz[p, p];

«O propagador depende do diagrama que contribue.»

notação O

```
mDiagramaQEDescalar[m_, g_, numVert_, numPropFot_, pIn_, pOut_, pPropg_] :=
```

$$\left(\text{vert}[g]^{\text{numVert}} \cdot \left(\text{propFot}[pPropg]^{\text{numPropFot}} \cdot \left(\text{normLortz}[pIn, pOut] \right)^{-n} \right) \right);$$

«Os fatores κ foram retirados pois m^2, s, t, u e estamos no gauge de Feynman»

«constantes como c e \hbar já estão definidos como 1»

```
QEDESC.mDiagramaQEDescalar «Um alias para diminuir o tamanho da função»;
```

```
In[]:= crossSectionQEDCM[m_, g_, s_, t_, u_] :=
```

$$\left(\frac{1}{64 \cdot \pi^2 \cdot \text{normLortz}[p1.p2, p1.p2]} \right) \cdot \text{Abs} \left(\text{QEDESC}[m, g, 2, 1, p1.p2, p3.p4, p1.p2].s \right) \cdot$$

valor absoluto

$$\left(\text{QEDESC}[m, g, 2, 1, p1.p3, p2.p4, p1.p3].t \right) \cdot$$

$$\left(\text{QEDESC}[m, g, 2, 1, p1.p4, p2.p3, p1.p4].u \right)^2;$$

«O total será a soma das contribuições, e neste caso apenas os diagramas T e U»

notação O

```
d.d[m_, g_, s_, t_, u_] := Simplify[
```

simplifica

$$\text{Simplify}[\text{crossSectionQEDCM}[m, g, s, t, u], \text{Assumptions} \rightarrow \text{supsl}, \text{Assumptions} \rightarrow \text{supsl2};$$

simplifica premissas premissas

«Um alias para diminuir o tamanho da função, assumir acoplamentos positivos e assumir as variáveis de Mandelstam e suas relações»;

encontra - se que a seção de choque será dada por

```
In[]:= secao . d.d[m_e, e, 0, 1, 1]
```

$$\text{Out[]} = \frac{\frac{1}{4} \text{Abs} \left[\frac{(t \cdot u) (s \cdot t \cdot u)}{t \cdot u} \right]}{4 s}$$

condizente com a literatura! Escrevendo as variáveis de Mandelstam em função do ângulo

```
In[]:= sups3 . {t -> 2 (a^2) (Cos[theta] - 1), u -> 2 (a^2) (Cos[theta] . 1), a -> 1/137, s -> 4 b^2};
```

cosseño cosseño

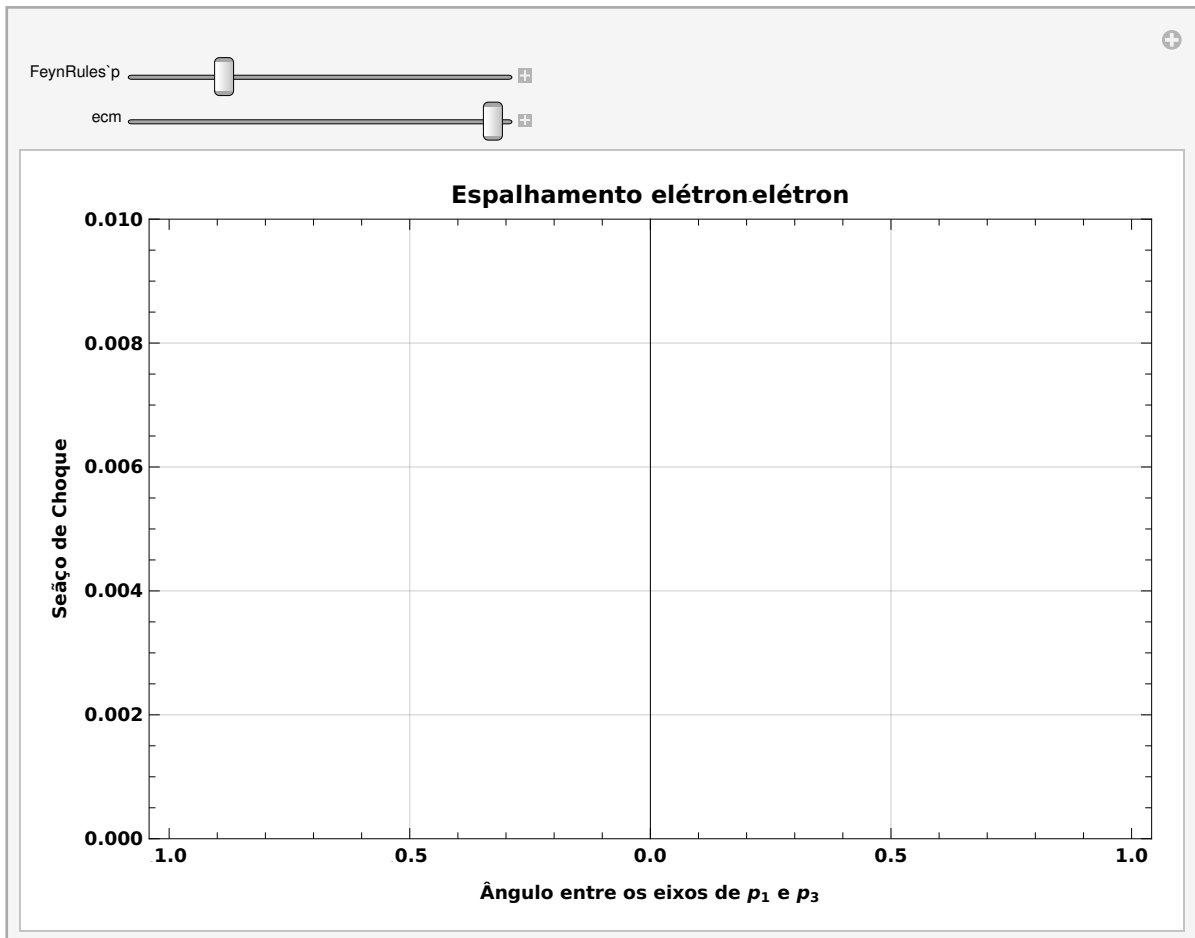
é possível plotar a seção de choque no limite relativístico:

```

In[ ]:= secaoplot . secao /. sups3;
Manipulate[Plot[secaoplot /. {a -> p, b -> ecm}, {ϕ, 0, π/2}, PlotRange -> {0, 0.01}, Frame -> True,
  manipula | gráfico
  FrameLabel -> {"Ângulo entre os eixos de  $p_1$  e  $p_3$ ", "Seção de Choque"},
  | legenda do quadro
  LabelStyle -> Directive[Bold, 10], Ticks -> Automatic,
  | estilo de eti | diretiva | negrito | marc | automático
  ImageSize -> Large, GridLines -> Automatic,
  | tamanho da | grande | grade de l | automático
  PlotLabel -> "Espalhamento elétron-elétron", {{p, 3}, 1, 10}, {{ecm, 10}, 1, 10}
  | etiqueta de gráfico

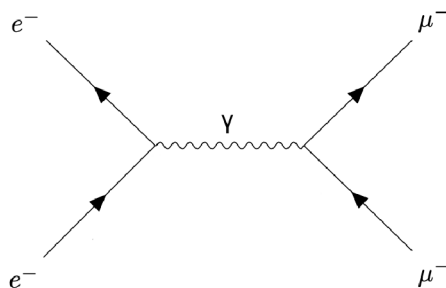
```

Out[]:=



Outros Campos

Para a QED com spinores, adiciona-se a nova regra para propagadores internos spinoriais, e novamente será possível ver por meio do FeynArts que somente o canal-s será possível. Tomando o *Espalhamento Elétron-Muon*:



$$e^-e^+ \rightarrow \mu^-\mu^+$$

```
In[ ]:= Paint[InsertFields[CreateTopologies[0, 2 - 2], {F[1, {1}], -F[1, {1}]} -> {F[1, {2}], -F[1, {2}]}],
  Model -> "QED"], ColumnsXRows -> 1, PaintLevel -> {Classes}]
```

inserting at levels: {Generic, Classes}

• Top. 1: 0 Generic, 0 Classes insertions

• Top. 2: 1 Generic, 1 Classes insertions

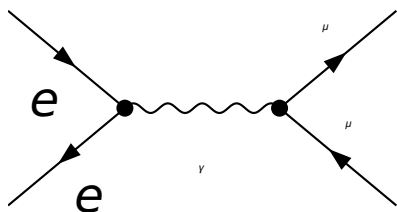
• Top. 3: 0 Generic, 0 Classes insertions

• Top. 4: 0 Generic, 0 Classes insertions

in total: 1 Generic, 1 Classes insertions

• Top. 1 aebeccdfef.m, 0 diagrams

$$e^- e^+ \rightarrow \mu^- \mu^+$$



T1 C1 N1

```
In[ ]:= vertSping_ := i * g * gamma;
propSpin[p_, m_] := i / (p^2 - m^2);
```

é possível confirmar a amplitude por meio do pacote *FeynRules*:

```
In[ ]:= CreateFeynAmp[
  InsertFields[CreateTopologies[0, 2 - 2], {F[1, {1}], -F[1, {1}]} -> {F[1, {2}], -F[1, {2}]}], Model -> "QED"]]
```



```
loading generic model file
/homebrunogehlenDocumentos/wolfram.qft/FeynArts.3.11/Models/Lorentz.gen
. $GenericMixing is OFF
generic model {Lorentz} initialized
```

```
loading classes model file
/homebrunogehlenDocumentos/wolfram.qft/FeynArts.3.11/Models/QED.mod
. 7 particles (incl. antiparticles) in 2 classes
. $CounterTerms are ON
. 1 vertices
. 3 counterterms of order 1
classes model {QED} initialized
```

```
inserting at levels {Generic, Classes}
. Top. 1: 0 Generic, 0 Classes insertions
. Top. 2: 1 Generic, 1 Classes insertions
. Top. 3: 0 Generic, 0 Classes insertions
. Top. 4: 0 Generic, 0 Classes insertions
in total: 1 Generic, 1 Classes insertions
```

```
creating amplitudes at levels {Generic, Classes}
. Top. 1: 1 Generic, 1 Classes amplitudes
in total: 1 Generic, 1 Classes amplitudes
```

```

Out[] = FeynAmpListProcess -> {{F[1, {1}], p1, ME, -Charge}, {F[1, {1}], p2, ME, Charge}} -
  {{F[1, {2}], k1, MM, -Charge}, {F[1, {2}], k2, MM, Charge}},
  Model -> {QED}, GenericModel -> {Lorentz}, AmplitudeLevel -> {Generic, Classes},
  ExcludeParticles -> {}, ExcludeFieldPoints -> {}, LastSelections -> {}

FeynAmpGraphIDTopology -> 1, Generic -> 1, Integral -> , RelativeCF v[p2, MassF[1, {1}]] .

$$\left( g_{\text{Lor1}} \cdot \text{om}_{\text{GFFV}}[g_{\text{KI13}}] \cdot \text{om}_{\text{Lor1}} \cdot \text{om}_{\text{GFFV}}[g_{\text{KI13}}] \right) \cdot u[p1, \text{MassF}[1, \{1\}]]$$


$$u[k1, \text{MassF}[1, \{2\}]] \cdot \left( g_{\text{Lor2}} \cdot \text{om}_{\text{GFFV}}[g_{\text{KI13}}] \cdot \text{om}_{\text{Lor2}} \cdot \text{om}_{\text{GFFV}}[g_{\text{KI13}}] \right) \cdot$$


$$v[k2, \text{MassF}[1, \{2\}]] g_{\text{Lor1}, \text{Lor2}} \frac{1}{(k1.k2)^2 \cdot \text{MassV}[\text{Gen5}, \text{Internal}]^2},$$

{MassF[1, {1}], MassF[1, {1}], MassF[1, {2}], MassF[1, {2}], MassV[Gen5], Internal],
  GFFV[gKI13].om, GFFV[gKI13].om, GFFV[gKI13].om, GFFV[gKI13].om, RelativeCF} -
  InsertionsClasses{{ME, ME, MM, MM, 0, , EL, , EL, , EL, , 1}}

```

focando no termo de amplitude facilmente reconhecível:

$$v[\dots] \cdot \left(g_{\text{Lor1}} \cdot \text{om}_{\text{GFFV}}[g_{\text{KI13}}] \cdot \text{om}_{\text{Lor1}} \cdot \text{om}_{\text{GFFV}}[g_{\text{KI13}}] \right) \cdot u[\dots],$$

$$u[\dots] \cdot \left(g_{\text{Lor2}} \cdot \text{om}_{\text{GFFV}}[g_{\text{KI13}}] \cdot \text{om}_{\text{Lor2}} \cdot \text{om}_{\text{GFFV}}[g_{\text{KI13}}] \right) \cdot v[\dots]$$

$$g_{\text{Lor1}, \text{Lor2}} \frac{1}{(k1.k2)^2 \cdot \text{MassV}[\text{Gen5}, \text{Internal}]^2}$$

onde tem-se as partículas v, v, u e u , além do propagador proporcional a s^2 e m^2 . Novamente, plotando a seção de choque no limite relativístico:

```

In[ ]:= secchoqmuon . (1 / 137 ^ 2) . (1 / (4 . a)) . (1 . Cos[ $\theta$  ^ 2];
                                         [cosseno]

Manipulate[Plot[secchoqmuon /. {a -> s}, { $\theta$ , 0,  $\pi$  / 2}, PlotRange -> {0, 0.00003}, Frame -> True,
[manipula] [gráfico] [intervalo do gráfico] [quadro] [verdade]

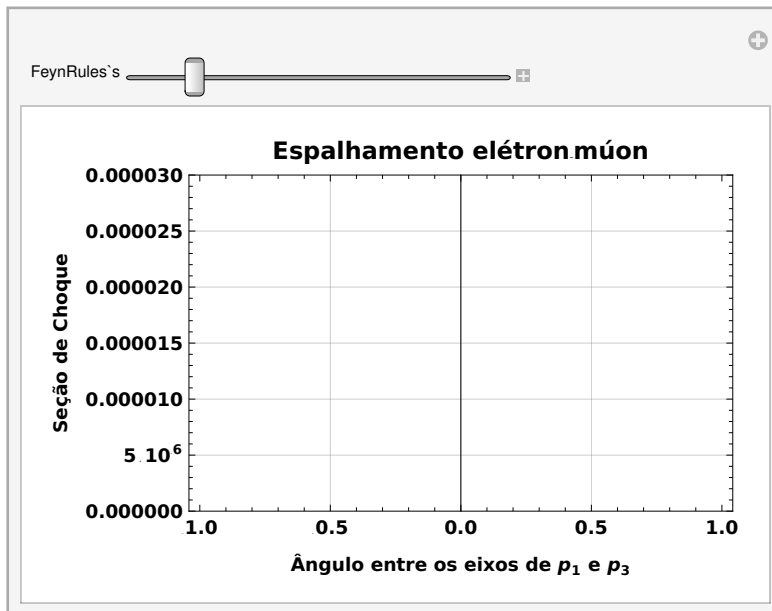
FrameLabel -> {"Ângulo entre os eixos de  $p_1$  e  $p_3$ ", "Seção de Choque"},
[legenda do quadro]

LabelStyle -> Directive[Bold, 10], Ticks -> Automatic, ImageSize -> Medium,
[estilo de eti] [diretiva] [negrito] [marc] [automático] [tamanho da] [tamanho mediano]

GridLines -> Automatic, PlotLabel -> "Espalhamento elétron.múon", {{s, 1}, 0.01, 7}
[grade de l] [automático] [etiqueta de gráfico]

```

Out[]:=



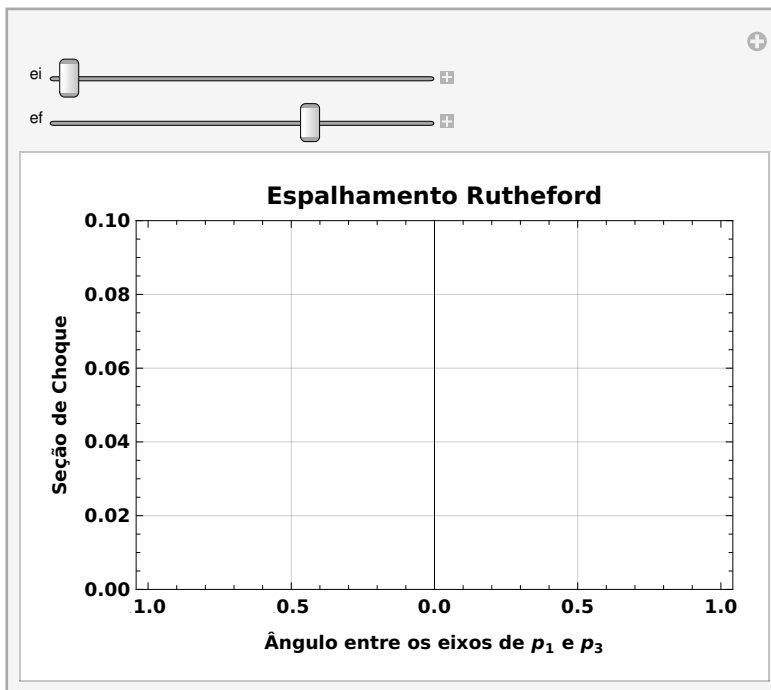
Plotando outras seções de choque como a do *Espalhamento Rutheford* e *Compton*, tem-se:

```

In[ ]:= secchoqruth .  $\left( \left( a^2 \right) / \left( 4 . a . \sin \left[ \theta / 2 \right] \right) \cdot \left( b / a \right) \cdot \left( \cos \left[ \theta / 2 \right]^2 \cdot \left( a - b \right) / m p \right) . \sin \left[ \theta / 2 \right]^2 \right);$ 
sup4 . {a -> 1/137, mp -> 938};
Manipulate[
  Plot[Evaluate[secchoqruth /. sup4] /. {a -> ei, b -> ef}, {θ, 0, π/2}, PlotRange -> {0, 0.1},
  Frame -> True, FrameLabel -> {"Ângulo entre os eixos de p1 e p3", "Seção de Choque"},
  LabelStyle -> Directive[Bold, 10], Ticks -> Automatic,
  ImageSize -> Medium, GridLines -> Automatic,
  PlotLabel -> "Espalhamento Rutheford", {ei, 0.1, 10}, {{ef, 7}, 0.1, 10}]

```

Out[]:=



```

In[ ]:= secchoqcompt .  $\left( \frac{\pi \cdot a^2}{2 \cdot a^2} \right) \cdot \left( \frac{1 \cdot \cos[\theta]}{4} \right) \cdot \left( \frac{1}{b^2 / (2 \cdot a^2)} \cdot 1 \cdot \cos[\theta] \right)$ ;
                                [cosseno]
                                [cosseno]

sup5 = {a -> 1/137};

Manipulate[Plot[Evaluate[secchoqcompt /. sup5], {a -> w, b -> m}, {w, 0, \pi/2}, Frame -> True,
[manipula] [grá] [calcula]                                [quadro] [verdadeiro]

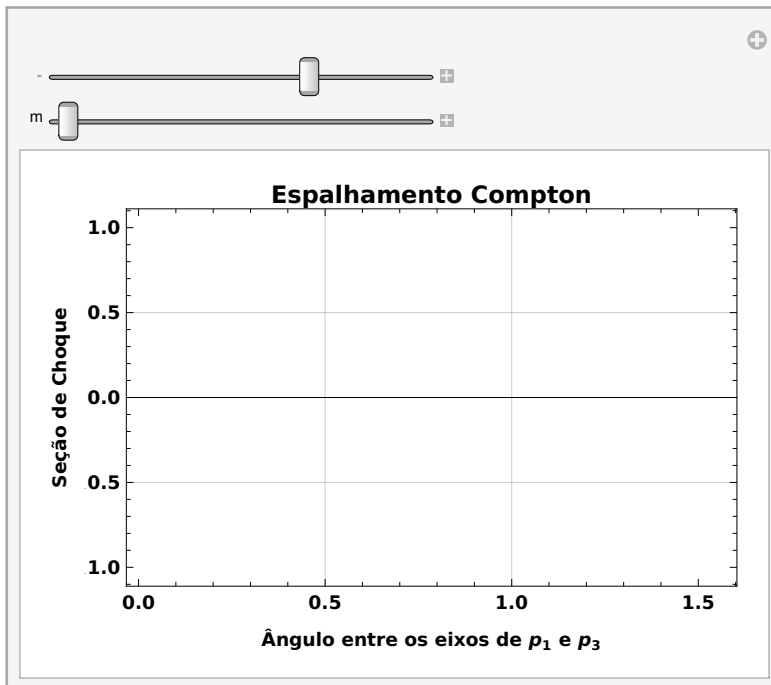
  FrameLabel -> {"Ângulo entre os eixos de p1 e p3", "Seção de Choque"},
  [legenda do quadro]

  LabelStyle -> Directive[Bold, 10], Ticks -> Automatic, ImageSize -> Medium,
  [estilo de eti] [diretiva] [negrito] [marc] [automático] [tamanho da] [tamanho mediano]

  GridLines -> Automatic, PlotLabel -> "Espalhamento Compton", {{w, 7}, 0.1, 10}, {m, 0.1, 10}
  [grade de l] [automático] [etiqueta de gráfico]

```

Out[]:=



Além disso, também é possível também calcular os possíveis decaimentos das partículas de uma lagrangiana em outras duas, por meio do pacote *FeynRules*, que possui essa funcionalidade nativamente, como pode ser visto:

```

In[]:= $FeynRulesPath.SetDirectory[FileNameJoin[{NotebookDirectory[], "feynrules.current"}]]
      [define diretório [une nome do [diretório do notebook
      «Define-se o diretório do pacote FeynRules, documentado em seu site oficial.»;
      .. FeynRules`«Checa
      se o bom carregamento do pacote (alguns erros podem aparecer, são ignoráveis);
      SetDirectory[$FeynRulesPath.«Models.SM»]
      [define diretório
      «Defin-se o diretório do modelo do Modelo Padrão.»;
      LoadModel["SM.fr"]«Carregase o modelo do Modelo Padrão.»;
      LoadRestriction["Massless.rst", "DiagonalCKM.rst"]
      «Carregase as restrições do Modelo Padrão.»;
      FeynmanGauge.True;
      [verdadeiro

```

- FeynRules -

Version: 2.3.49 (29 September 2021).

Authors: A. Alloul, N. Christensen, C. Degrande, C. Duhr, B. Fuks

Please cite:

- Comput.Phys.Commun.185:2250-2300,2014 [arXiv:1310.1921];
- Comput.Phys.Commun.180:1614-1641,2009 [arXiv:0806.4194].

<http://feynrules.phys.ucl.ac.be>

The FeynRules palette can be opened using the command `FRPalette`.

This model implementation was created by

N. Christensen

C. Duhr

B. Fuks

Model Version: 1.4.7

<http://feynrules.phys.ucl.ac.be/viewMainStandardModel>

For more information, type `ModelInformation`.

- Loading particle classes.
- Loading gauge group classes.
- Loading parameter classes.

Model Standard Model loaded.

Loading restrictions from `Massless.rst` : PRIVATE`FR\$restrictionCounter , 18

Loading restrictions from `DiagonalCKM.rst` : PRIVATE`FR\$restrictionCounter , 3

Restrictions loaded.

`In[]:= decay.ComputeWidths[FeynmanRules[LSM]]`

Starting Feynman rule calculation.

Expanding the Lagrangian...

Expanding the indices over 2 cores

Collecting the different structures that enter the vertex.

98 possible nonzero vertices have been found - starting the computation:

`FeynRules`FR$FeynmanRules` , 98.

93 vertices obtained.

Flavor expansion of the vertices distributed over 2 cores: `FeynRules`FR$Count1` , 93

Computing the squared matrix elements relevant for the 1.2 decays:

`FeynRules`FR$DecayCounter` , 40

$$\begin{aligned}
 \text{Out[]}= & \{ \{ \{ H, b, b \}, \frac{3 \left(4 M_B^2 \cdot M_H^2 \right) \sqrt{4 M_B^2 M_H^2 \cdot M_H^4} y b^2}{16 \pi \text{Abs}[M_H]^3} \}, \\
 & \{ \{ H, \tau_a, \tau_a \}, \frac{\left(M_H^2 - 4 M_{T_A}^2 \right) \sqrt{M_H^4 - 4 M_H^2 M_{T_A}^2} y \tau_a^2}{16 \pi \text{Abs}[M_H]^3} \}, \{ \{ H, t, t \}, \frac{3 \left(M_H^2 - 4 M_T^2 \right) \sqrt{M_H^4 - 4 M_H^2 M_T^2} y t^2}{16 \pi \text{Abs}[M_H]^3} \}, \\
 & \{ \{ H, W, W \}, \frac{e^4 \sqrt{M_H^4 - 4 M_H^2 M_W^2} \left(M_H^4 - 4 M_H^2 M_W^2 \cdot 12 M_W^4 \right) \text{vev}^2}{256 M_W^4 s_w^4 \text{Abs}[M_H]^3} \}, \\
 & \{ \{ Z, W, W \}, \frac{c_w^2 e^2 \sqrt{-4 M_W^2 M_Z^2 \cdot M_Z^4} \left(-48 M_W^6 - 68 M_W^4 M_Z^2 \cdot 16 M_W^2 M_Z^4 \cdot M_Z^6 \right)}{192 M_W^4 s_w^2 \text{Abs}[M_Z]^3} \}, \\
 & \{ \{ H, Z, Z \}, \frac{e^4 \sqrt{M_H^4 - 4 M_H^2 M_Z^2} \left(M_H^4 - 4 M_H^2 M_Z^2 \cdot 12 M_Z^4 \right) \left(c_w^2 \cdot s_w^2 \right)^4 \text{vev}^2}{512 c_w^4 M_Z^4 s_w^4 \text{Abs}[M_H]^3} \}, \\
 & \{ \{ W, u, d \}, \frac{e^2 M_W^4}{16 \pi s_w^2 \text{Abs}[M_W]^3} \}, \{ \{ W, c, s \}, \frac{e^2 M_W^4}{16 \pi s_w^2 \text{Abs}[M_W]^3} \},
 \end{aligned}$$

$$\{\{W, t, b\}, -\frac{e^2 \left(MB^4 \cdot MT^4 \cdot MT^2 M_W^2 - 2 M_W^4 \cdot MB^2 \left(2 MT^2 \cdot M_W^2 \right) \right) \sqrt{MB^4 \cdot \left(MT^2 \cdot M_W^2 \right)^2 - 2 MB^2 \left(MT^2 \cdot M_W^2 \right)}}{32 M_W^2 s_w^2 \text{Abs}[M_W]^3}\},$$

$$\{\{b, W, t\}, -\frac{e^2 \left(MB^4 \cdot MT^4 \cdot MT^2 M_W^2 - 2 M_W^4 \cdot MB^2 \left(2 MT^2 \cdot M_W^2 \right) \right) \sqrt{MB^4 \cdot \left(MT^2 \cdot M_W^2 \right)^2 - 2 MB^2 \left(MT^2 \cdot M_W^2 \right)}}{64 M_W^2 s_w^2 \text{Abs}[M_W]^3}\},$$

$$\{\{t, W, b\}, -\frac{e^2 \left(MB^4 \cdot MT^4 \cdot MT^2 M_W^2 - 2 M_W^4 \cdot MB^2 \left(2 MT^2 \cdot M_W^2 \right) \right) \sqrt{MB^4 \cdot \left(MT^2 \cdot M_W^2 \right)^2 - 2 MB^2 \left(MT^2 \cdot M_W^2 \right)}}{64 M_W^2 s_w^2 \text{Abs}[M_W]^3}\},$$

$$\{\{W, ve, e\}, \frac{e^2 M_W^4}{48 s_w^2 \text{Abs}[M_W]^3}\}, \{\{W, vm, \mu\}, \frac{e^2 M_W^4}{48 s_w^2 \text{Abs}[M_W]^3}\},$$

$$\{\{W, vt, ta\}, \frac{e^2 \left(MTA^2 \cdot M_W^2 \right)^2 \left(MTA^2 \cdot 2 M_W^2 \right)}{96 M_W^2 s_w^2 \text{Abs}[M_W]^3}\}, \{\{ta, W, vt\}, \frac{e^2 \left(MTA^2 \cdot M_W^2 \right)^2 \left(MTA^2 \cdot 2 M_W^2 \right)}{64 M_W^2 s_w^2 \text{Abs}[M_W]^3}\},$$

$$\{\{Z, u, u\}, \frac{e^2 MZ^4 \left(9 c_w^4 \cdot 6 c_w^2 s_w^2 \cdot 17 s_w^4 \right)}{288 c_w^2 s_w^2 \text{Abs}[M_Z]^3}\}, \{\{Z, c, c\}, \frac{e^2 MZ^4 \left(9 c_w^4 \cdot 6 c_w^2 s_w^2 \cdot 17 s_w^4 \right)}{288 c_w^2 s_w^2 \text{Abs}[M_Z]^3}\},$$

$$\{\{Z, t, t\}, \frac{e^2 \sqrt{.4 MT^2 MZ^2 \cdot MZ^4} \left(.9 c_w^4 \left(MT^2 \cdot MZ^2 \right) \cdot 6 c_w^2 \left(11 MT^2 \cdot MZ^2 \right) s_w^2 \cdot \left(7 MT^2 \cdot 17 MZ^2 \right) s_w^4 \right)}{288 c_w^2 s_w^2 \text{Abs}[M_Z]^3}\},$$

$$\{\{Z, d, d\}, \frac{e^2 MZ^4 \left(9 c_w^4 \cdot 6 c_w^2 s_w^2 \cdot 5 s_w^4 \right)}{288 c_w^2 s_w^2 \text{Abs}[M_Z]^3}\}, \{\{Z, s, s\}, \frac{e^2 MZ^4 \left(9 c_w^4 \cdot 6 c_w^2 s_w^2 \cdot 5 s_w^4 \right)}{288 c_w^2 s_w^2 \text{Abs}[M_Z]^3}\},$$

$$\{\{Z, b, b\}, \frac{e^2 \sqrt{.4 MB^2 MZ^2 \cdot MZ^4} \left(.9 c_w^4 \left(MB^2 \cdot MZ^2 \right) \cdot 6 c_w^2 \left(7 MB^2 \cdot MZ^2 \right) s_w^2 \cdot \left(17 MB^2 \cdot 5 MZ^2 \right) s_w^4 \right)}{288 c_w^2 s_w^2 \text{Abs}[M_Z]^3}\},$$

$$\begin{aligned}
& \{ \{Z, ve, ve\}, \frac{e^2 MZ^4 \left(c_w^2 \cdot s_w^2 \right)^2}{96 c_w^2 \pi s_w^2 Abs[MZ]^3} \}, \{ \{Z, vm, vm\}, \frac{e^2 MZ^4 \left(c_w^2 \cdot s_w^2 \right)^2}{96 c_w^2 \pi s_w^2 Abs[MZ]^3} \}, \\
& \{ \{Z, vt, vt\}, \frac{e^2 MZ^4 \left(c_w^2 \cdot s_w^2 \right)^2}{96 c_w^2 \pi s_w^2 Abs[MZ]^3} \}, \{ \{Z, e, e\}, \frac{e^2 MZ^4 \left(c_w^4 - 2 c_w^2 s_w^2 + 5 s_w^4 \right)}{96 c_w^2 \pi s_w^2 Abs[MZ]^3} \}, \\
& \{ \{Z, mu, mu\}, \frac{e^2 MZ^4 \left(c_w^4 - 2 c_w^2 s_w^2 + 5 s_w^4 \right)}{96 c_w^2 \pi s_w^2 Abs[MZ]^3} \}, \\
& \{ \{Z, ta, ta\}, \frac{e^2 \sqrt{.4 MTA^2 MZ^2} \cdot MZ^4 \left(c_w^4 \left(MTA^2 \cdot MZ^2 \right) - 2 c_w^2 \left(5 MTA^2 \cdot MZ^2 \right) s_w^2 + \left(7 MTA^2 \cdot 5 MZ^2 \right) s_w^4 \right)}{96 c_w^2 \pi s_w^2 Abs[MZ]^3} \} \}
\end{aligned}$$

Renormalização

Após estudar o processo de renormalização, é possível tentar aplica-lo para um toy model de uma lagrangiana escalar com interação dada por $\phi^4/3!$. Sua amplitude será dada por

```
In[1]:=  $\mu$ loop = (g^2/2).Integrate(1/(2.\pi)^4).((k^4)/(k^2)), {k, 0, \infty}
```

Integrate: Integral of $\frac{1}{16 k^4}$ does not converge on $(0, \infty)$. [i](#)

e aplicando a Parametrização de Feynman (e o shift $k \rightarrow k + p/(1-x)$), além de introduzir o regulador de Pauli-Villars, é possível reduzir esforços e encontrar que a amplitude para o propagador do campo escalar (com $m \rightarrow 0$) é:

```
In[5]:= cond = {g > 0, m == 0, p > 0, \Lambda > 0};
 $\mu$ loop = (g^2/(32.\pi^2)).Integrate[Log[m^2.p^2.x.(1-x)/(1-x^2)], {x, 0, 1}, Assumptions -> cond]
```

```
Out[6]=  $\frac{g^2}{32 \pi^2} \left( -2 + i \pi + \text{Log}\left[\frac{p^2}{\Lambda^2}\right] \right)$ 
```

agora finito após a regularização. É possível fazer o mesmo para a teoria da QED (escalar e

spinorial), onde a primeira novamente terá um termo divergente de $1/k^4$ para o propagador do fóton com um loop fermiônico no meio, e

que ao expandir $d = 4 - \epsilon$ e tomar o limite $\epsilon \rightarrow 0$, tem-se que

**Implementações com o pacote FeynRules serão formuladas em futuras atualizações*